Gamma-Spektroskopie – Halbleiterdetektor

Institut für Physik – Humboldt-Universität zu Berlin

Hannes Vogel¹ (573003), Max Dreyer² (573838)

 1 vogelhaq@physik.hu-berlin.de, 2 dreyermq@physik.hu-berlin.de 11. November 2018

Abstract Im Versuch wurden die Gamma-Spektren von Am-241, Ba-133, Co-60 und Cs-137 mit einem Germanium-Halbleiterdetektor untersucht. Zunächst wurden charakteristische Detektorparameter wie Peak-to-Compton-Verhältnis, Energieauflösung und relative Detektoreffizienz ermittelt. Damit konnte die Compton-Kante für Cs-137

$$E_{\gamma c}^{mess} = (480 \pm 4) \text{ keV}$$

und die Aktivität der Cs-137-Quelle bestimmt werden. Außerdem wurde die Energieabhängigkeit des Absorptionskoeffizienten für Al, Cu, Mo und Pb untersucht. Dabei zeigt Pb die stärkste Absorption und Al die schwächste.

1 Grundlagen

Um γ -Strahlung im Bereich von keV bis ~ 10 MeV zu messen, bieten Ge-Halbleiterdetektoren hohe Energieauflösung. Die vorherrschenden Wechselwirkungen zwischen Detektormaterial und γ -Strahlung sind Paarerzeugung, Compton-Streuung und der Photoeffekt. Deren Stärke ist abhängig von der Photonenenergie E_{γ} . So dominiert der Photoeffekt bei Energien bis 100 keV, die Compton-Streuung bei etwa 1 MeV und Paarbildung ab 10 MeV [2]. Aus den Spektren verschiedener Quellen lassen sich die Lage der entsprechenden Peaks sowie der Compton-Kante ermitteln (Siehe Tab. 1).

Bei der Wechselwirkung zwischen γ -Strahlung und einem Absorbermaterial ist der Wirkungsquerschnitt σ_i abhängig von der Energie der Photonen E_{γ} und der Kernladungszahl Z des Absorbers. Für kleine E_{γ} gilt:

$$\sigma = const \cdot \frac{Z^n}{E_{\gamma}^m}$$
 mit $n = 4 \dots 5$ und $m = \frac{7}{2}$ (1)

Für den Massenarbsorptionskoeffizienten μ in Abhängigkeit von der Dichte ρ , Avogadrokonstante N_A , Mol-

masse A und dem Wirkungsquerschnitt σ gilt:

$$\mu = N_A \cdot \frac{\rho}{A} \cdot \sigma \tag{2}$$

Weitere physikalische Grundlagen und Informationen zum Versuchsaufbau sind unter [1], [2] zu finden.

Prozess	Energiebereich
Photoeffekt	
Full Energy Photo Peak	E_{γ}
Paarerzeugung	
Single Escape Peak	$E_{\gamma} - 511 \text{ keV}$
Double Escape Peak	$E_{\gamma} - 1022 \text{ keV}$
Compton-Streuung	
Comptonkante	$E_{\gamma c}$
Comptonuntergrund	0 bis $E_{\gamma c}$
mehrfach: Full Energy Peak	E_{γ}
Rückstreuung	
Rückstreupeak	E_{γ} - $E_{\gamma c}$

Tabelle 1 Verschiedene Prozesse im γ -Spektrum (Siehe [2])

2 Aufbau

de das Zerfallsgesetz

Der Versuchsaufbau wurde gegenüber [1] nicht geändert. Die Entfernung zwischen den verwendeten Quellen (Tab.2) und dem Detektor wurde konstant auf $d=(25,0\pm0,2)$ cm gehalten und nach jeder Messung nochmals überprüft, um Fehlern durch Verwacklung vorzubeugen. Die Betriebsspannung des Ge-Detektors belief sich auf 3 kV. Die angezeigte Totzeit von 3% wurde im Allgemeinen nicht überschritten. Zur Auswertung wurde MATLAB verwendet. Um die Aktivität A(t) der Quellen zu berechnen, wur-

 $A(t) = A_0 \cdot \exp\left(-\frac{\ln(2) \cdot t}{T_{1/2}}\right) \tag{3}$

genutzt. Dabei entspricht A_0 der Anfangsaktivität (gemessen am 1.11.1996 laut Probenhalter) und t der verstrichenen Zeit bis zur Messung am Versuchstag (25.10.2018, 8028 d). Die Halbwertszeiten $T_{1/2}$ wurden [1] entnommen.

Isotop	Gamma	linien [k	eV] [2, 5	S. 34]	A_{2018} [kBq]
Cs-137	661,6	32,0			224
Ba-133	355,9	81,0	31,0	30,6	94
Co-60	1332,5	1173,2			26
Am-241	59,5	13,9	17,8		362

Tabelle 2 Verwendete Gammastrahler mit Aktivität A, berechnet nach dem Zerfallsgesetz (3)

3 Durchführung

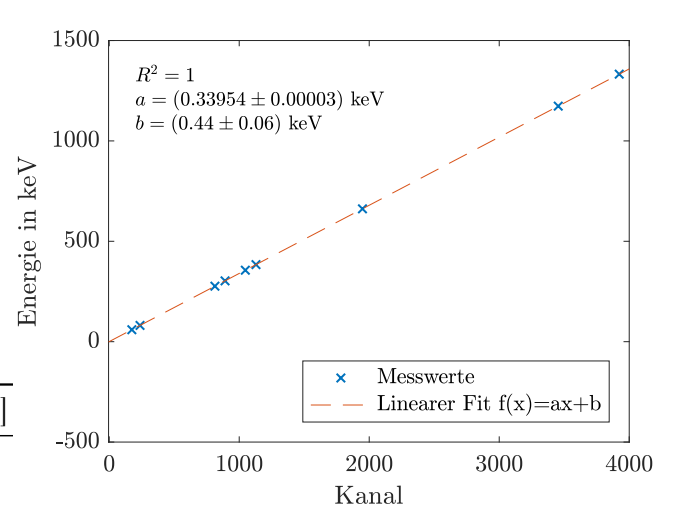
3.1 Kalibrierung und Untergrund

Zunächst muss der Vielkanalanalysator kalibriert werden. Mithilfe der Energie bekannter Emissionslinien (Tab. 2) kann die entsprechende Kanalzahl x mit einer linearen Funktion $f(x) = a \cdot x$ in Energiewerte übersetzt werden (Abb. 1).

Zusätzlich müssen die Messwerte um den Untergrund korrigiert werden. Dazu wurde das Untergrundspektrum ohne Quelle über eine Messzeit von 5229,30 s aufgenommen (Abb. 2). Im Untergrundspektrum sind

unter anderem die Zerfallsprodukte der Ra-226-Reihe (Pb-214 bei 295,213 keV und Bi-214 bei 609,312 keV [3, S. 428]) sichtbar. Dies ist nicht erstaunlich, da Ra-226 einen großen Beitrag zur Strahlenbelastung des Menschen liefert. Der erwartete Peak für K-40 bei 1460,822 keV [6] lag knapp außerhalb des Messbereichs. Zur Korrektur der verschiedenen Messwerte muss das Untergrundsignal noch auf die entsprechenden Messzeiten skaliert werden.

Alle dargestellten Ergebnisse sind kalibriert und um den Untergund korrigiert.



 ${\bf Abbildung} \ {\bf 1} \ {\bf Nach} \ {\bf Kalibration} \ {\bf zeigt} \ {\bf sich} \ {\bf ein} \ {\bf linearer} \ {\bf Verlauf} \ {\bf der} \ {\bf Energie} \ {\bf in} \ {\bf Abhängigkeit} \ {\bf von} \ {\bf der} \ {\bf Kanalzahl}$

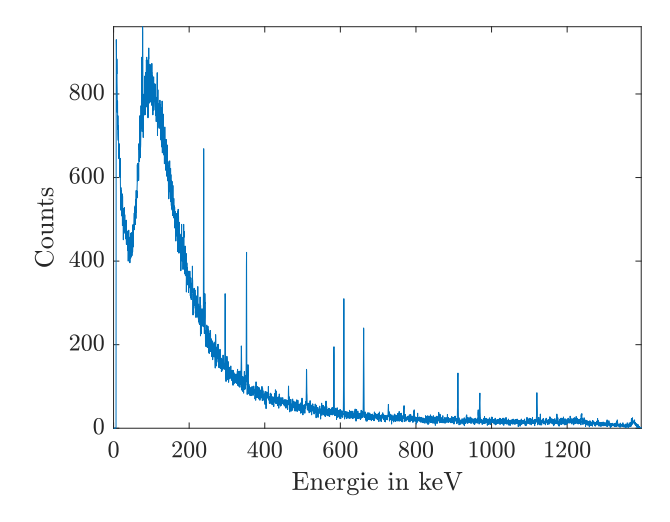


Abbildung 2 Untergrundspektrum über Messzeit von 5229.30 s

3.2 Cs-137 Spektrum und Compton-Kante

Im Spektrum von Cs-137 lassen sich der Full Energy Peak E_{γ} und die Compton-Kante $E_{\gamma c}$ sehr gut erkennen (Abb. 3).

$$\begin{split} E_{\gamma}^{mess} &= (660 \pm 4) \text{ keV} \\ E_{\gamma c}^{mess} &= (480 \pm 4) \text{ keV} \end{split}$$

Diese Werte überlappen die theoretischen Vorhersagen im Rahmen ihrer einfachen Unsicherheiten.

$$E_{\gamma}^{th} = 661,6 \text{ keV} \text{ (Tab. 2)}$$

$$E_{\gamma c}^{th} = \frac{E_{\gamma}}{1 + \frac{511 \text{ keV}}{2 \cdot E_{\gamma}}} = 477,3 \text{ keV} \text{ [2, S. 8]}$$

Für den Rückstreupeak E_{bc} , der deutlich stärker verrauscht ist, gilt dies erst im doppelten Fehlerintervall.

$$E_{bc}^{mess} = (190 \pm 4) \text{ keV}$$

$$E_{bc}^{th} = E_{\gamma} - E_{\gamma c} = 184.3 \text{ keV}$$

Für die Peak-Bestimmung wurde eine Unsicherheit von 5 Kanälen angenommen, woraus sich über die Kalibrierung (Abb. 1) der Fehler ergibt.

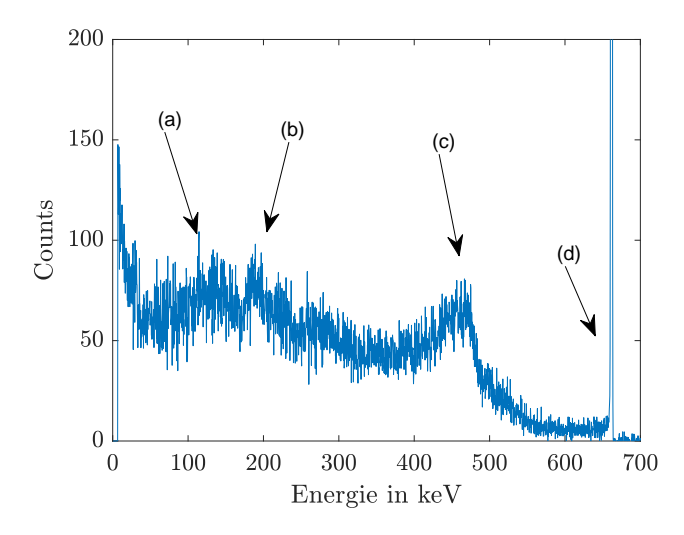


Abbildung 3 Spektrum von Cs-137: (b) Rückstreupeak bei 190 keV (c) Compton-Kante bei 480 keV, (d) Full Energy Peak bei 660 keV

3.3 Detektorparameter

3.3.1 relative Detektoreffizienz

Die relative Detektoreffizienz wird nach IEEE-Standard mithilfe der 1,33 MeV-Linie von $\mathrm{Co^{60}}$ gemessen. Dabei wird die Zählrate R der Quelle ca. 10 Minuten in einem Abstand von 25 cm aufgenommen. Die Rate R wird dann im Verhältnis zu der Zählrate eines 3x3 Zoll NaJ(Ti)-Szintillationsdetektor unter gleichen Bedingungen angegeben:

$$\epsilon_{rel} = 8.33 \cdot 10^4 \frac{R}{A} \%$$

Messung Die Zählrate R wurde aus der Summe aller Counts des 1,33 MeV-Peaks gewonnen, wobei der Fehler jedes Kanals \sqrt{n} (n: Counts eines Kanals) beträgt, wenn eine Poissonverteilung angenommen wird. Mit $\sum n = (3,77 \pm 0,21)$ kcts (siehe Abb. 6) und t = 614s sowie $A = (26,1 \pm 0,3)$ Bq ergibt sich:

$$\epsilon_{rel} = (23.5 \pm 1.3) \%$$

Datenblatt Nach Herstellerangaben beträgt $\epsilon_{ref} \approx 20\%$, wobei im März 2017 eine Testmessung durchgeführt wurde, die $\epsilon_{rel} \approx 22,3\%$ ergab.

Daumenregel Aus [1, S. 3] konnte für die relative Detektoreffizienz ε_{rel} folgende Daumenregel entnommen werden, wobei der Detektordurchmesser $d = 5.74 \,\mathrm{cm}$ beträgt:

$$\varepsilon_{rel} = 0.17 \text{ cm}^{-3} \cdot (5.74 \text{ cm})^3 \%$$

 $\approx 32.15 \%.$

Hierbei wurde angenommen, dass der Detektor in Höhe und Durchmesser identisch ist. Die Höhe beträgt jedoch $h=3,51\,\mathrm{cm}$ und somit wird ϵ_{rel} in Wirklichkeit kleiner sein, was auch die anderen Werte (aus Messung/Datenblatt) bestätigen.

3.3.2 Energieauflösung

Die Energieauflösung wird im Folgenden durch den FWHM-Wert für verschiedene Energie-Peaks der Quellen ermittelt. Abbildung 4 zeigt ein Beispiel für einen Gaußfit.

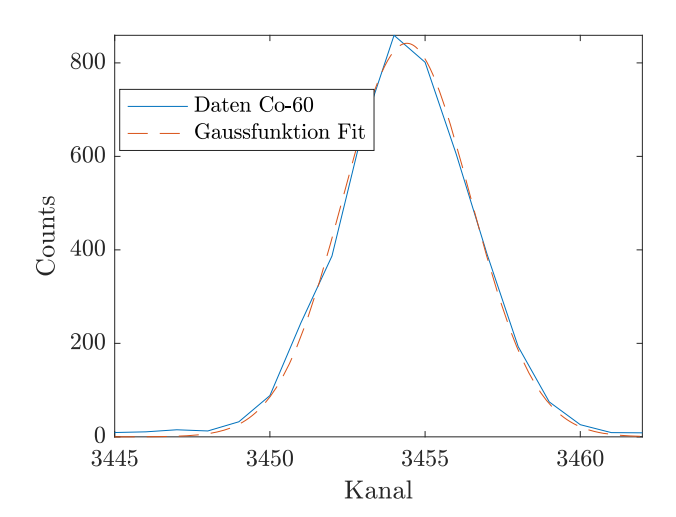
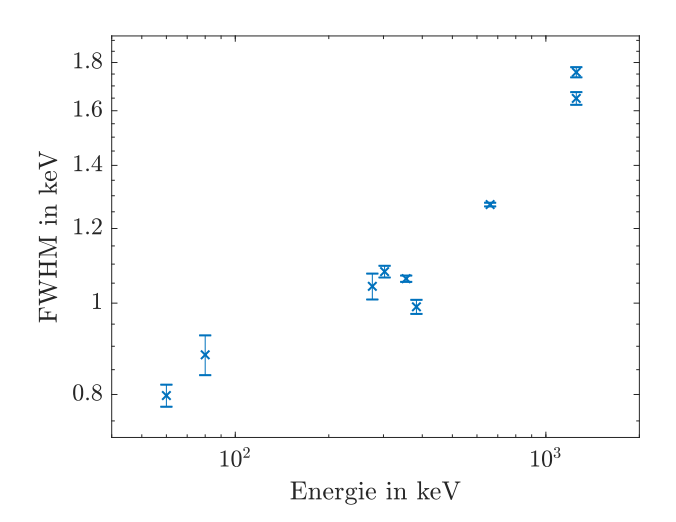


Abbildung 4 Beispiel für das Fitten eines Peaks im Spektrum mithilfe einer Gaußfunktion. ($R^2 = 0.997$)

In der Testmessung im März 2017 wurde für den 1,33 MeV Peak von $\mathrm{Co^{60}}$ ein FWHM von 1,72 keV ermittelt. In dem Versuch ergab sich FWHM= $(1,758\pm0,022)\,\mathrm{keV}$. Auch die Herstellerangabe von 1,8 keV passt zu der Messung. In Abbildung 5 sind die Werte der FWHM für verschiedene Energien dargestellt. Man erkennt, dass für höhere Energien die Breite der Peaks zunimmt.



 ${f Abbildung}\ {f 5}\ {f FWHM}$ in Ahängigkeit von der Energie des Peaks.

3.3.3 Peak-to-Compton-Verhältnis

Zur Ermittlung des Peak-to-Compton-Verhältnisses PtC_{IEEE} wurde nach IEEE-Standard verfahren (t=10 min, d=25 cm, Co-60). Sein Wert bestimmt sich aus dem Verhältnis der maximalen Höhe $N_{peak,max}$ des 1,33 MeV-Peaks (Abb. 6) und der durchschnittlichen Zählrate N_{compt} für den Compton-Untergrund im Bereich von 1,040 MeV bis 1,096 MeV. Für die Zählrate ergibt sich der Fehler aus der Standardabweichung der Werte im Energiebereich.

$$\begin{split} N_{compt} &= (13 \pm 4) \, \text{cts} \\ N_{peak,max} &= (663 \pm 26) \, \text{cts} \\ PtC_{IEEE} &= \frac{N_{peak,max}}{N_{compt}} = 51 \pm 3 \end{split}$$

Nach [3, S. 414] liegt PtC_{IEEE} für Ge-Detektoren üblicherweise im Bereich von 30 bis 60. Diese Angabe deckt sich gut mit dem ermittelten Wert.

Um die Energieabhängigkeit des Peak-to-Compton-Verhältnis zu überprüfen, wurden alle Linien der Isotope aus Tab. 2 untersucht. Statt des Peakmaximums wurde hierbei das Integral I_{peak} über den Peak betrachtet. Die durchschnittliche Zählrate des Comptonuntergrunds I_{compt} wurde mit einer Box-Funktion ermittelt. So ergibt sich beispielsweise für den 1,33 MeV-Peak von C-60:

$$I_{peak} = (3.77 \pm 0.21) \, 10^3 \text{cts},$$

 $I_{compt} = (5.5 \pm 1.3) \, 10^4 \text{cts},$
 $PtC = 0.070 \pm 0.004.$

Wenn mehrere Linien desselben Isotops innerhalb eines Bereichs von 100 keV lagen, wurden die Signale (und der Comptonuntergrund) aufaddiert und ein gemeinsames Peak-to-Compton-Verhältnis ermittelt (Siehe Abb. 7). Es zeigt sich ein Zusammenhang zwischen abnehmendem Peak-to-Compton-Verhältnis und steigender Energie. Die Compton-Streuung wird ab 0,2 MeV zum dominierenden Prozess [2, S. 9].

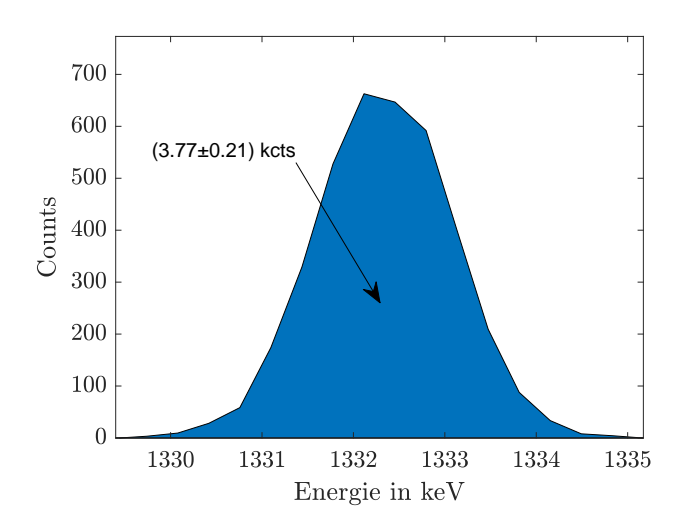


Abbildung 6 1330 keV Peak von C-60, Höhe $N=(663\pm26)\,\mathrm{cts}$

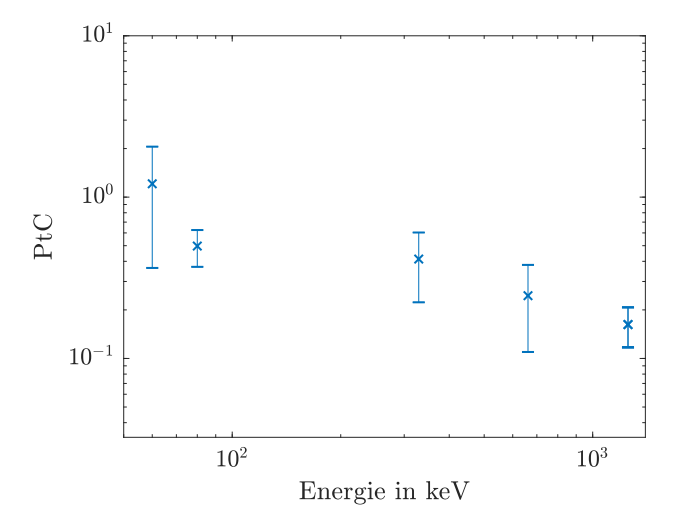


Abbildung 7 Peak-to-Compton-Verhältnis als Verhältnis der Wirkungsquerschnitte von vollständiger Absorption und Comptoneffekt

3.4 Massenabsorptionskoeffizient

3.4.1 Materialabhängigkeit

Zur Ermittlung der Materialabhängigkeit des Massenabsorptionskoeffizienten μ wurde die Ba-133-Quelle mit Absorberplatten aus verschiedenen Materialien (Al, Cu, Mo, Pb) abgeschirmt. Gleichzeitig wurde die Zahl/Dicke der Platten variiert, um den exponentiellen Verlauf der Abschirmung zu untersuchen

(Siehe 8 für Aluminium). Gemessen wurden die Intensitäten für die 355,9-keV- und 81,0-keV-Peaks anhand der Integrale der Peaks. Blei (Z=82) zeigt das stärkste und Aluminium (Z=13) das schwächste Absorptionsverhalten (Tab. 3.4.1).

Material	$\mu_{335,9 \text{ keV}} [\text{mm}^{-1}]$	$\mu_{81,0 \text{ keV}} \text{ [mm}^{-1}\text{]}$
$_{13}\mathrm{Al}$	$0,0242\pm0,0009$	$0,0360\pm0,0010$
$_{29}\mathrm{Cu}$	$0,078 \pm 0,013$	$0,532 \pm 0,020$
$_{42}\mathrm{Mo}$	$0{,}10\pm0{,}01$	$1,63 \pm 0,05$
$_{82}\mathrm{Pb}$	$0,269 \pm 0,007$	$1,71\pm0,12$

Tabelle 3 Materialabhängigkeit der Absorptionskoeffizienten μ , Fit für Barium-133 bei 335,9 keV und 81,0 keV

Die Abhängigkeit von der Ordnungszahl Z kann für beide Peaks untersucht werden und fällt deutlich geringer aus als nach Vorhersage $n = 4 \dots 5$ (Form. 1).

$$n_{356 \text{ keV}} = 1,62 \pm 0,26;$$
 $R^2(\text{Fit}) = 0,952$
 $n_{81 \text{ keV}} = 2,5 \pm 0,4;$ $R^2(\text{Fit}) = 0,953$

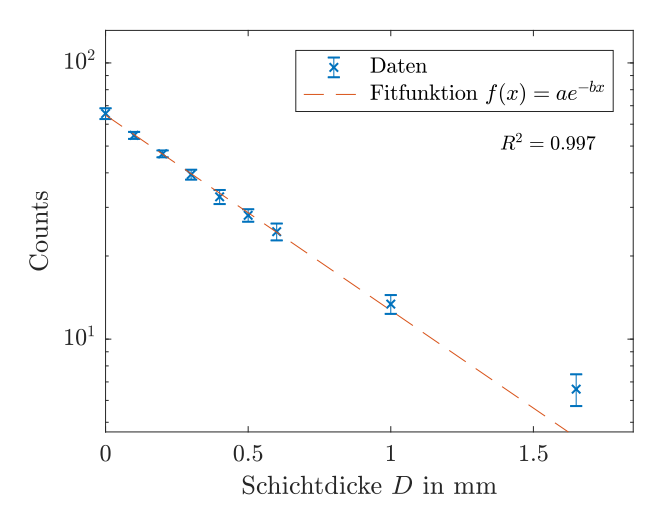


Abbildung 8 Bestimmung Absorptionskoeffizient μ für Al

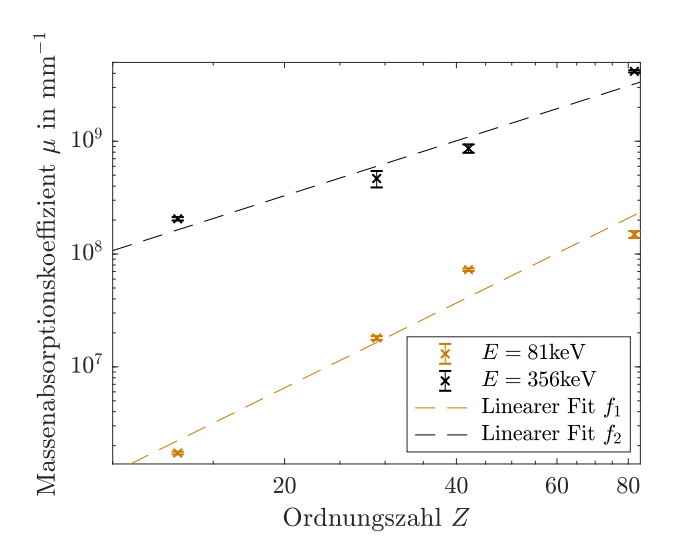


Abbildung 9 Bestimmung Materialabhängigkeit \mathbb{Z}^n für Ba-133 mit verschiedenen Absorptionsmaterialien

3.4.2 Energieabhängigkeit

Um den Einfluss der Photonenenergie E_{γ} auf μ zu ermitteln, wurden verschiedene Quellen (Tab. 2) mit einer variablen Anzahl/ Dicke an Kupferplatten abgeschirmt. Daraus lässt sich die Energieabhängigkeit bestimmten (Abb. 10). Auch hier ist der Wert geringer als nach Vorhersage m=3,5 (Form. 1).

$$m = 1.49 \pm 0.13$$
; $R^2(\text{Fit}) = 0.999$

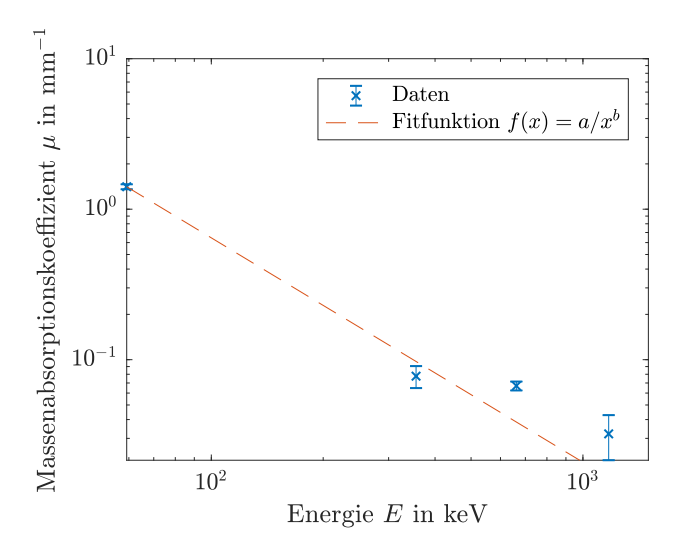


Abbildung 10 Bestimmung Energieabhängigkeit E^m für Cu mit verschiedenen Strahlungsquellen

3.5 Aktivität und Dosis Cs-137

Die Aktivität der Cs-137-Quelle kann mit der integralen Zählrate R_{int} abgeschätzt werden. Dazu wird aus der realen Zählrate mithilfe der Detektoreffizienz die ideale Zählrate R_{ideal} bestimmt. Aus dieser lässt sich aus dem Abstand zwischen Detektor und Quelle $d=(25,0\pm0,2)$ cm sowie der Oberfläche S des Detektors (Durchmesser: 57,4 mm [1]) die Aktivität A berechnen.

$$R_{ideal} = \frac{R_{int}}{\epsilon_{rel}}$$

$$S = \frac{\pi}{4} (57.4 \text{ mm})^2$$

$$A = R_{ideal} \cdot \frac{4\pi d^2}{S} = (230 \pm 9) \text{ kBq}$$

Dieser Wert überlappt den theoretischen Wert A_{th} aus Tab. 2 im einfachen Fehlerintervall.

$$A_{th} = 224 \text{ kBq}$$

Die akkumulierte Dosis D ergibt sich aus dem Verhältnis der absorbierten Energie E_{abs} und der Körpermasse ($\approx 80 \text{ kg}$).

$$E_{abs} = A \cdot E_{\gamma} \cdot t \cdot \frac{S_k}{4\pi d} \cdot (1 - \exp(-\rho \cdot \mu_a \cdot d_k))$$
$$D = \frac{E_{abs}}{m_k} = (4.2 \pm 0.5) \cdot 10^{-8} \text{Gy}$$

Daraus ergibt sich eine Äquvalenzdosis H von

$$H = (0.042 \pm 0.005) \ \mu \text{Sv}.$$

Verglichen mit dem Grenzwert von 1 mSv pro Kalenderjahr [5, S. 93] ist die zusätzliche Strahlenbelastung durch den Versuch sehr gering.

4 Zusammenfassung

Im Versuch konnten grundlegende Detektorparameter (relative Detektoreffizienz ϵ_{rel} , Peak-to-Compton-Verhältnis nach IEEE-Standard PtC_{IEEE} und nach physikalischer Definition PtC, Energieauflösung) des Ge-Halbleiterdetektors bestimmt werden. Außerdem wurde die Aktivität A der Cs-137-Quelle sowie die Compton-Kante $E_{\gamma c}$ und die akkumulierte Dosis H

ermittelt. Bei der Messung des Massenabsorptionskoeffizienten zeigen sich die Material- und Energieabhängigkeit \mathbb{Z}^n , \mathbb{E}^m . Alle ermittelten Größen können in Tab. 4 gefunden werden.

Größe Vorhersage Messwert 477,3 keV [2, S. 8] $E_{\gamma c}$ $(480 \pm 4) \text{ keV}$ $(23.5 \pm 1.3)\%$ 20%. [1, S. 3] ϵ_{rel} $FWHM^1$ $(1,758 \pm 0,022) \text{ keV}$ $1,72\,\mathrm{keV}$ PtC_{IEEE} 51 ± 3 30...60 [3, S. 414] PtC $0,070\pm0,004$ A $(230 \pm 9) \text{ kBq}$ $(224\pm3)kBq$ H $(0.042 \pm 0.005) \mu Sv$ $\ll 1 \text{ mS}$ 4...5 $1,62\pm0,26$ $n_{356~{\rm keV}}$ $2,5\pm0,4$ 4...5 $n_{81 \text{ keV}}$ $1,49\pm0,13$ 3,5 m

Tabelle 4 Zusammenfassung aller ermittelten Größen. (1 FWHM bezüglich des 1,33 MeV Peaks von Co^{60})

4.1 Fehlerquellen

Alle Messungen können durch längere Messzeiten und stärkere Unterdrückung des Untergrunds noch weiter verbessert werden. Gegebenenfalls treten Mikrophonieeffekte auf [2, S. 20]. Für die Messung bei der C60-Quelle ist der Einfluss der beiden Experimentatoren, die im Abstand von 1 Meter neben dem Versuchsaufbau saßen und jeweils etwa 9 kBq an Strahlungsleistung [5] beigetragen haben, nicht mehr zu vernachlässigen.

Literatur

- [1] T. Hengstebeck u.a.: HLD: Gamma-Spektroskopie II Halbleiterdetektor, Vers. 1.4, 10. April 2018
- [2] O. Boslau: Halbleiterdetektoren für die Röntgen- und Gammaspektroskopie, 1997
- [3] G. F. Knoll: Radiation Detection and Measurement, 3. Edition, John Wiley & Sons [URL: http://users.lngs.infn.it/ dimarco/Radiation%20Detection%20and%20Measurement,%203rd%20ed%20-%20Glenn%20F.pdf], überprüft am 07.11.2018, 10:00 Uhr GST
- [4] P. J. Mohr, B. N. Taylor: CODATA recommended values of the fundamental physical constants, 1998, [URL: http://physics.nist.gov/cuu/Archive/1998RMP.pdf], überprüft am 09.06.2016, 18:00 Uhr GST
- [5] M. Volkmer: Radioaktivität und Strahlenschutz, Köln 2012, ISBN 978-3-926956-45-3, S. 56 [URL: https://www.kernenergie.de/kernenergie-wAssets/docs/service/013radioaktivitaet-u-strahlenschutz2012.pdf], überprüft am 1.11.2019, 18:00 Uhr GST
- [6] Laboratoire National Henri Becquerel, *DDEP recommended data*, Decay Data Evaluation Project, [URL: www.nucleide.org/DDEP_WG/DDEPdata.htm], überprüft am 1.11.2019, 18:00 Uhr GST